

## 4. Strukturbildung & Muster

42

4.1 Einführung

4.2 komplexe Grenzberg-Landau-Gleichung

4.3 Bifurkationen räumlicher Muster

4.4 Reaktion-Diffusionssysteme

### 4.1 Einführung:

**Muster (patterns)** finden sich überall

- Bsp.:
- Vegetationsdynamik
  - Vogelschwärme / Insekten
  - Fische schalen
  - Anregungswerte
  - Physische polycephalen Zelle
  - Landau-Strouhan
  - Konvektionsmuster
  - Rayleigh-Bernard-Zellen
  - Taylor-Couette-Strömung
  - Marangoni-Effekt

1) Was versteht Chat GPT dazu?

2) a) Sucht selbst ein Thema (Beratung und Konzentration der Frage mit "pattern formation".

b) Kurz zusammen fassen (wichtigen Punkte, Begriffe, Abbildungen)

Vergleiche: Meixner et al. PRE 55, 6690 (1997)

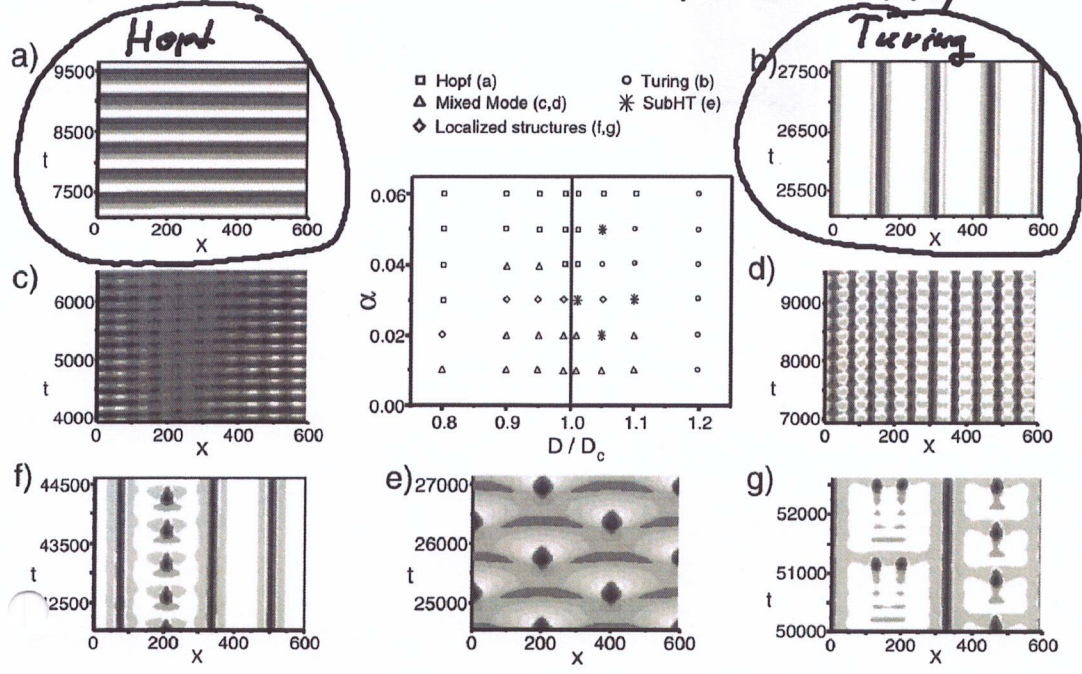


FIG. 5. Regimes of different asymptotic spatiotemporal behavior near the CTHP bifurcation given by the line  $D/D_c=1$ . The symbols in the  $(\alpha, D/D_c)$  control parameter space denote various types of space-time patterns which are illustrated by typical space-time plots of  $j(x,t)$  as insets: (a) Hopf oscillations (squares), (b) Turing patterns (dots), (c) and (d) Turing-Hopf mixed modes (triangles), (e) subharmonic Turing-Hopf mode consisting of spatiotemporal spiking (asterisks), and (f) and (g) localized Turing-Hopf structures (diamonds). (For parameters, see Table I.)

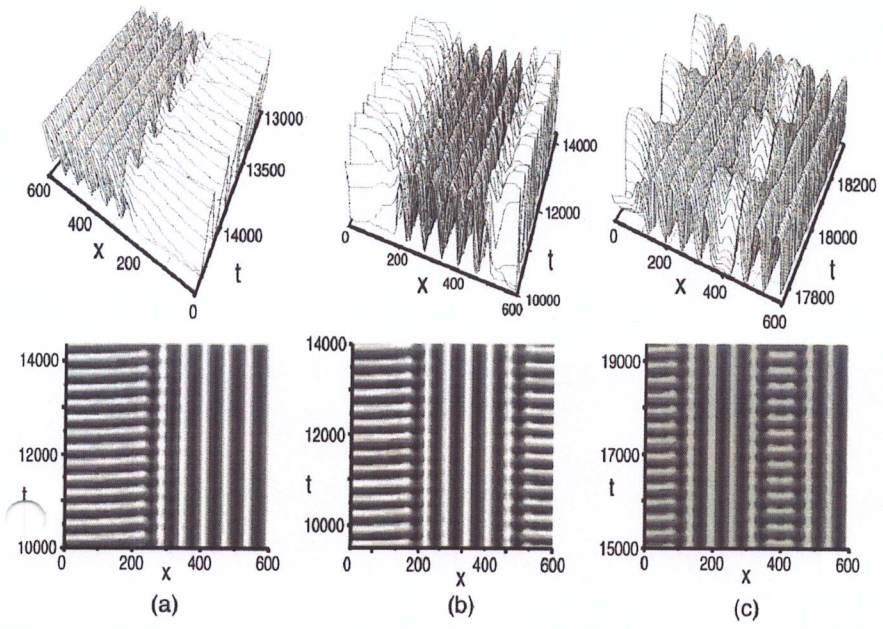


FIG. 6. Localized structures near the CTHP  $C_2$  for  $T=0.05$ ,  $\alpha=0.02$ ,  $D=8$  (corresponding to  $D/D_c=0.67$ ),  $j_0=3.1$ , and different initial conditions: (a) Turing-Hopf front. (b) Turing domain embedded between two Hopf states. (c) Localized Turing-Hopf structures. The current density  $j(x,t)$  is shown as a density plot and as a three-dimensional representation.

## 4.2. Komplex Struktur - Lenzsche Gleichung

44

- Stuart-Lenzsche-Oszillator (Kopf-Kreislauf)

$$\dot{z} = (1 + i\omega \mp (1 + i\gamma) |z|^2) z \quad \omega(x, t)$$

- harmonischer Oszillator mit Dämpfung:  $\frac{\partial W}{\partial t} = i\omega_0 W + D \frac{\partial^2 W}{\partial x^2}$

Ausatz:  $W(x, t) = \sum_{n=-\infty}^{\infty} W_n(t) \exp\left[i \frac{2\pi n x}{L}\right]$  (Fourier-Reihe)

$\frac{2\pi n}{L}$ : Wellenzahl

⇒ Amplitude der n-ten Mode:

$$\frac{\partial W_n(t)}{\partial t} = i\omega_0 W_n(t) - \left(\frac{2\pi n}{L}\right)^2 D W_n(t)$$

↳ Lösung:  $W_n(t) = W_n(0) \underbrace{\exp\left[-\left(\frac{2\pi n}{L}\right)^2 D t\right]}_{\text{Dämpfung aller Moden } n \neq 0} \exp\left[i\left(\omega_0 - \left(\frac{2\pi n}{L}\right)^2 D_i\right) t\right]$

Dämpfung aller Moden  $n \neq 0$

⇒ nur harmonische Mode ( $n=0$ ) überlebt

- Stuart-Lenzsche + Diffusion:

$$\frac{\partial W}{\partial t} = \mu(\nu_r + i\nu_i) W - \underbrace{(\gamma_r + i\gamma_i) |W|^2 W}_{\text{Vermeidungsgleichung}} + (d_r + id_i) \frac{\partial^2 W}{\partial x^2}$$

Vermeidungsgleichung

für klein  $|W|$ : Anharmonizität

⇒ Lösung:  $W_n(t) = W_n(0) \exp\left[\left(\mu\nu_i - \left(\frac{2\pi n}{L}\right)^2 d_i\right) t\right] \exp\left[i\omega_n t\right]$

$\omega_n = \left(\frac{2\pi n}{L}\right)^2 d_i$

Achtung! Extdämpfung für  $\mu\nu_i - \left(\frac{2\pi n}{L}\right)^2 d_i > 0$

etwa  $L$  groß genug ⇒ instabile Moden!

Transformiere:  $t \rightarrow \frac{t}{\mu\nu_i}$ ,  $x \rightarrow \left(\frac{d_i}{\mu\nu_i}\right)^{\frac{1}{2}} x$

$$W \rightarrow \left(\frac{\mu\nu_i}{\gamma_r}\right)^{\frac{1}{2}} \exp\left(i\omega_i \frac{t}{\nu_i}\right) W, \quad C_1 = \frac{d_i}{\nu_i}, \quad C_2 = \frac{\gamma_i}{\gamma_r}$$

$$\frac{\partial}{\partial t} W = W - (1 + i c_2) |w|^2 W + (1 + i c_1) \frac{\partial^2}{\partial x^2} W$$

Komplexe Ginzburg-Landau-Gleichung

lösg:  $W_Q = a_Q \exp[i(\omega_Q t + Qx)]$   $Q$ : Wellenzahl

$$\Rightarrow i \omega_Q W = W - (1 + i c_2) |a_Q|^2 W + (1 + i c_1) (-Q^2) W$$

Re:  $0 = 1 - |a_Q|^2 - Q^2 \Rightarrow |a_Q|^2 = 1 - Q^2$

Im:  $\omega_Q = -c_2 |a_Q|^2 - c_1 Q^2$   
 $= -c_2 (1 - Q^2) - c_1 Q^2$   
 $= -c_2 + (c_2 - c_1) Q^2$

Uniform/komplex Oszillations ( $Q=0$ ):  $|a_0|=1, \omega_0 = -c_2$

Check Stabilität: kleine Störung:  $W \approx [1 + w(x,t)] \exp(i \omega_0 t)$

$$\partial_t w = -(1 + i c_2) (w + w^*) + (1 + i c_1) \partial_x^2 w$$

$$\partial_t w_Q = -(1 + i c_2) (w_Q + w_Q^*) + (1 + i c_1) Q^2 w_Q \text{ mit } Q = \frac{2\pi x}{L}$$

$\Rightarrow$   
 $\uparrow$   
 linear ODE

$$\partial_t w_Q^* = -(1 - i c_2) (w_Q + w_Q^*) + (1 - i c_1) Q^2 w_Q^*$$

$$\Rightarrow \frac{\partial}{\partial t} \begin{pmatrix} w_Q \\ w_Q^* \end{pmatrix} = \begin{pmatrix} -(1 + i c_2) - (1 + i c_1) Q^2 & -(1 + i c_2) \\ -(1 - i c_2) & -(1 - i c_1) - (1 - i c_1) Q^2 \end{pmatrix} \begin{pmatrix} w_Q \\ w_Q^* \end{pmatrix}$$

$$\Rightarrow \text{Eigenwerte: } \lambda_{\pm}^{(Q)} = -(1 + Q^2) \left\{ 1 \pm \sqrt{1 - \frac{Q^2 [(1 + c_1)^2 Q^2 + 2(1 + c_1 c_2)]}{(1 + Q^2)}} \right\}$$

Ins. Stabilität für  $|1 + c_1, c_2| < 0$  Benjamin-Feir-Gleichung

Band von stabilen Moden:  $0 < |Q| < \sqrt{\frac{2|1 + c_1 c_2|}{1 + c_1^2}}$

• Hinweise / Tipps zur Nachbereitung / Vorbereitung:

- ↳ Benjamins - Fein - Transfektivität
- ↳ Amplicon - / Phagen - Gleichung
- ↳ Kurs für die CGLE
- ↳ mitrofluoreszenz Bezugssystem
- ↳ Transformation  $x \rightarrow x - vt$
- ↳ Eigenwerte nachvollziehen